



## پتروزنز و دما- فشار سنجی سنگ‌های آذرین مافیک و اولترامافیک در مجموعه‌ی افیولیتی شرق بیرجند

غلامرضا فتوحی‌راد\*، غلامرضا نوروزی، احمد آریافر

گروه مهندسی معدن، دانشکده مهندسی، دانشگاه بیرجند، بیرجند

(دریافت مقاله: ۹۰/۳/۲۵، نسخه نهایی: ۹۰/۹/۱۹)

**چکیده:** سنگ‌های آذرین مافیک و اولترامافیک مورد بررسی، به یک مجموعه‌ی افیولیتی وابسته‌اند که در شرق بیرجند (بین سولابست در جنوب تا شمال گزیک در شمال) واقع شده است. نتایج نمودارهای کانی‌شناسی و ژئوشیمیایی نشان می‌دهد که گابروها و تعدادی از پریدوتیت‌ها به سری انباستی مآگمای مورب زون گسترش یافته‌ی کف اقیانوس وابستگی دارند و تعدادی دیگر نیز از انواع دگرگون (تکتونیت‌ها) هستند. سری مآگمایی سنگ‌های آذرین مورد بررسی بر اساس نمودارهای ژئوشیمیایی تولیتی است. مشابهت الگوهای عناصر کمیاب در نمودارهای عنکبوتی نیز وابستگی این سنگ‌ها را به مآگمای بازالتی نوع مورب تأیید می‌کند. نتایج دما- فشارسنجی تعدادی از این سنگ‌ها که بر اساس درجه بندی‌های مختلف محاسبه شده‌اند دماهایی بین ۹۴۴ درجه‌ی سانتیگراد در گابروها تا ۱۲۹۴ درجه‌ی سانتیگراد در پریدوتیت‌ها بدست داده است. برای تبلور این سنگ‌ها، بر اساس محاسبات نرم افزار ترمومکالک هلند و پاول، دماهایی بین ۷۴۸ درجه‌ی سانتیگراد در گابروها تا ۱۲۸۲ درجه‌ی سانتیگراد در پریدوتیت‌ها و فشارهایی بین ۱۷/۴۶ در گابرو تا ۲۴/۷ و ۳۳/۶ کیلوبار در پریدوتیت‌ها به دست آمدند. اغلب این دماهای به دست آمده بخصوص دماهای ترمومکالک برای تبلور این سنگ‌ها از مآگمای غنی از منیزیم نوع مورب در یک مرکز گسترش کف اقیانوسی منطقی می‌نماید.

**واژه‌های کلیدی:** مجموعه‌ی افیولیتی؛ سنگ‌های آذرین مافیک و اولترامافیک؛ سری انباستی؛ دما- فشارسنجی - بیرجند.

افیولیت‌های شرق ایران با روندی شمال غربی -  
جنوب‌شرقی به صورت منشورهای به هم افزوده در شرق، جنوب شرقی و نیز جنوب بیرجند و شرق نهیندان، و در همبافت‌های نه و رتوک واقع شده‌اند (شکل ۳) و بیش از ۳۰ درصد زون جوش خورده‌ی سیستان را تشکیل می‌دهند [۲] که در بعضی مناطق با سازنده‌ای فلیش نیز مخلوط شده‌اند.

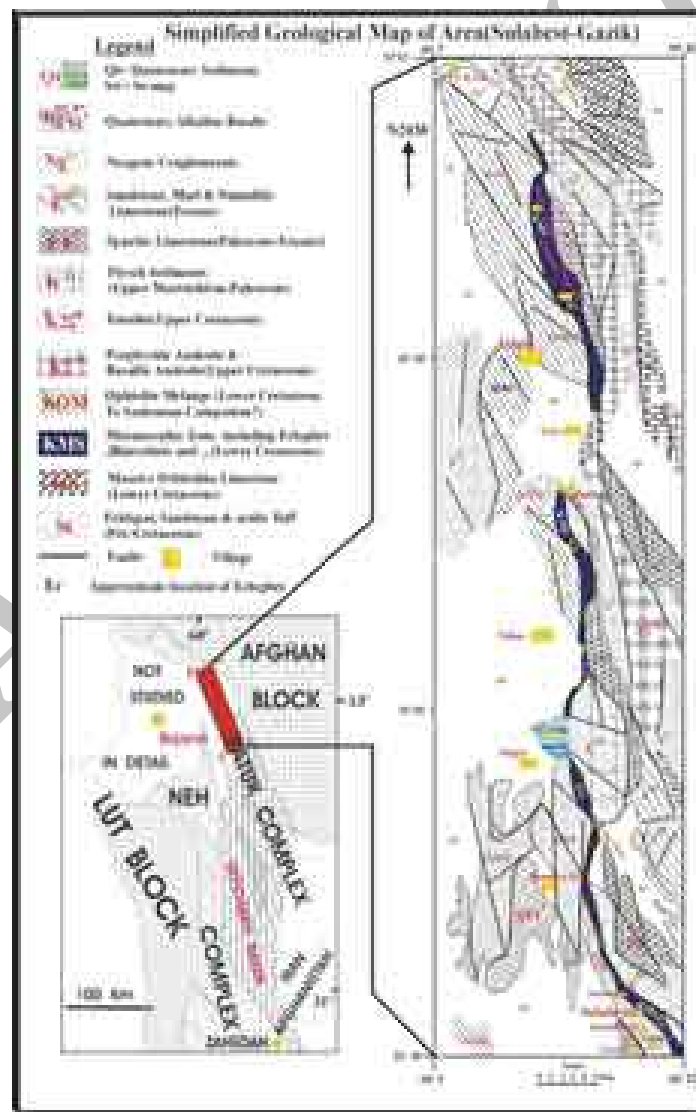
**مقدمه**  
مجموعه‌ی افیولیتی سولابست- گزیک، در فاصله- ای در حدود ۱۲۵ کیلومتری شرق بیرجند در نقشه‌های زمین شناسی گزیک و شاهرخت [۱] واقع شده است. مناطق گزیک و شاهرخت چنانکه در شکل‌های ۱، ۲ و ۳ مشاهده می‌شوند در شرق ایران قرار گرفته‌اند.



شکل ۲ موقعیت جغرافیایی منطقه‌ی مورد بررسی و راههای ارتباطی.



شکل ۱ موقعیت نقشه‌های چهارگوش ۱:۲۵۰۰۰۰ شهرخات (بخش هاشورزده شده شمالی) و گزینک (بخش جنوبی) در نقشه ایران.



شکل ۳ نقشه زمین‌شناسی ساده شده‌ای از منطقه‌ی مورد بررسی که موقعیت تقریبی منطقه در زون جوش خورده سیستان (۲) را نیز نشان می‌دهد.

این زمان وجود داشته که بعداً این سنگ‌های افیولیت ملانژ مخلوط شده‌اند. رسوب‌های ماستریشتین پسین بدون دگرگونی و به صورت دگرگشی افیولیت را پوشانده است [۳].

#### روش پژوهش

پس از بررسی‌های صحرایی و سنگ‌نگاری برای بررسی‌های ژئوشیمیایی و تفسیرهای سنگ‌شناسی تعدادی از نمونه‌های سنگی پریدوتیتها و گابروها در دانشگاه تربیت مدرس تهران به روش XRF برای شناخت عناصر اصلی و کمیاب آنالیز شدند که نتایج آنالیزها در جداول ۱ تا ۴ ارائه شده‌اند.

همچنین سه نمونه از سنگ‌های آذرین مورد بررسی برای بررسی‌های زمینی- دماسنگی و نیز سنگ‌شناسی‌های دیگر انتخاب و در گروه علوم زمین دانشگاه منچستر انگلستان و با استفاده از ریز کاونده‌ی الکترونی آنالیز شدند؛ دستگاه مورد استفاده در این پژوهش یک ژئواسکن ساخت کمپریج بود که متصل به سیستم QX-2000 بیناب سنج پاشنده‌ی (EDS) پرتو-X، با دقیق حدود ۰/۲ درصد وزنی، انجام گرفت. کاوش با یک ولتاژ شتاب دهنده‌ی kv ۱۵ با زمان شمارش ۴۰ ثانیه برای هر تجزیه انجام شد که قبلًاً تصحیح خودکار ZAF با استفاده از نرم افزار اتصالی EPMA ZAF4/FLS صورت گرفت. به دلیل اینکه مقدار  $\text{Fe}^{3+}$  و  $\text{Fe}^{2+}$  را نمی‌تواند تعیین و تمایز کند، Fe کانی‌ها باید یا بصورت  $\text{Fe}^{2+}$  یا به صورت  $\text{Fe}^{3+}$  داده شود. در این پژوهش برای کانی‌های آهن داری مانند پیروکسن‌ها که نسبت‌های متغیری از  $\text{Fe}^{2+/Fe}^{3+}$  دارند، مقدار  $\text{Fe}^{3+}$  با استفاده از معادله دروپ [۶] بر اساس عنصر سنگی کانی‌های یاد شده برآورد شد. نتایج آنالیز نقطه‌ای کانی‌های سه نمونه سنگی در جدول‌های ۵ و ۶ ارائه شده‌اند.

در منطقه‌ی مورد بررسی نیز چنین وضعیتی مشاهده می‌شود که افیولیت و سازنده‌های فلیش دگرگون شده و دگرگون نشده (به صورت مخلوط) با راستای شمال غربی- جنوب شرقی در بخش‌های مرکزی و شمالی چهارگوش گزینک و بخش‌های جنوبی و مرکزی چهارگوش شاهرخت رخنمون دارند و رخنمون‌های نسبتاً وسیعی در ناحیه‌ی مجاور (ناحیه‌ی بیرجنده) به سمت غرب نشان می‌دهند. بنابراین ناحیه‌ی مورد بررسی تنها در بردارنده‌ی کناره‌ی شرقی این زون افیولیتی بزرگ است.

**خلاصه‌ای از زمین‌شناسی منطقه‌ی مورد بررسی**  
اجزای افیولیتی منطقه که روی زمین مشخص شده‌اند از بالا به پایین به قرار زیرند: گدازه‌های بالشی دگرگون شده، چرت‌ها و رادیولاریت‌های نواری و ژاسپر، گدازه‌ها و توف‌های بازی که برخی از آن‌ها دگرگون شده‌اند، دایک‌های صفحه‌ای بسیار دگرگون شده، میکروگابروها و دولریت‌ها که بعضی برونزده‌های این سنگ‌ها دگرگون شده‌اند، گابروهای لایه‌ای و همسانگرد از انواع دگرگون شده و دگرگون نشده، سنگ‌های اولترامافیک که بعضی سرپانتینی و دگرگون شده‌اند، کمربند (زون) دگرگونی بخش شرقی افیولیت را تشکیل داده‌اند. (شکل ۳) [۳].

به طور کلی فلیش و افیولیت‌های مخلوط شده با آن، تحت تأثیر یک دگرگونی باشدت متغیر از دگرگونی درجه‌ی خیلی پایین تا دگرگونی درجه بالای رخساره‌ی اکلوژیت قرار گرفته است [۳]. فاز اصلی تغییر شکل و دگرگونی بر پایه‌ی سال سنگی ایزوتوبی [۴] طی کامپانین تا ماستریشتین (یعنی در کرتاسه پسین) شکل گرفته است. این دگرگونی ضمن فرآیند فرورانش حاکم بر منطقه رخ داده است [۳]. آهک‌های میکریتی با میکروفیسیل‌های شاخص ماستریشتین زیرین نشان می‌دهد که یک حوضه‌ی دریایی پشت خوکی [۵] در محل ترنج در

**جدول ۱** نتایج تجزیه‌ی XRF و شیمی مرطوب سنگ‌های اولترامافیک مجموعه‌ی افیولیتی (۳ نمونه‌ی سمت چپ در رساله دکتری [۳] و ۲ نمونه‌ی سمت راست در بژوهش دوره‌ی کارشناسی ارشد [۱۸] بدست آمده‌اند). (n.d.= not detected).

Sample	FSD1	TDF4	FGa2	An-19*	An-4*
نام نمونه/اکسید ها	متا هارزبورزیت	هارزبورزیت	لرزولیت	متا هارزبورزیت	هارزبورزیت
SiO <sub>2</sub>	۳۸,۳۷	۲۸,۸۵	۳۹,۹۳	۴۱,۳۹	*۲۸,۶۴
Al <sub>2</sub> O <sub>3</sub>	۰,۷۰	۱,۳۲	۱,۰۴	۱,۱۴	۰,۴۲
Fe <sub>2</sub> O <sub>3</sub>	۱,۱۰	۱,۳۱	۰,۸۷	۰,۷۶	۱,۱۰
FeO	۸,۱۲	۸,۳۲	۸,۳۲	۶,۹۶	۶,۷۲
TiO <sub>2</sub>	۰,۰۱	۰,۰۳	۰,۰۲	۰,۰۳	۰,۰۲
CaO	۱,۰۲	۱,۴۳	۱,۴۵	۱,۵۲	۱,۱۱
MgO	۳۹,۵۷	۲۶,۵۰	۳۹,۵۳	۳۸,۸۹	۳۸,۷۹
Na <sub>2</sub> O	۰,۰۹	۰,۰۶	۰,۰۷	۰,۰۵	۰,۰۴
K <sub>2</sub> O	n.d.	n.d.	n.d.*	۰,۰۲	۰,۰۱
SO <sub>3</sub>	۰,۱۳	۰,۰۹	۰,۱۲	۰,۰۷	۰,۰۴
P <sub>2</sub> O <sub>5</sub>	۰,۰۱	۰,۰۱	۰,۰۱	۰,۰۴	۰,۰۳
MnO	۰,۱۱	۰,۲۲	۰,۱۱	۰,۱۱	۰,۰۹
LOI	۱۱,۲۷	۹,۶۶	۹,۳۶	۸,۳۹	۱۲,۹۹
Total	۱۰۰,۱۸	۹۹,۹۳	۱۰۰,۷۸	۹۹,۴۸	۹۹,۶۵

**جدول ۲** نتایج تجزیه‌ی XRF ۲۸ عنصر نادر و نادر خاکی پریدوتیت‌های مجموعه‌ی افیولیتی (بر حسب PPM). عناصر کمیاب بر حسب بخش در میلیون (ppm) است و n.d.= not detected.

Sample	FGa2	TDF4	FSD1
نام نمونه	لرزولیت	هارزبورزیت	متا هارزبورزیت
As	<۳*	<۳	<۳
Ba	n.d.*	n.d.	n.d.
Bi	n.d.	n.d.	۱
Ce	۳۱	۳۴	۴۲
Co	۱,۶	۱,۴	۱,۰۳
Cr	۲۱۶۵	۲۴۰,۱	۲۲۵۱
Cs	n.d.	n.d.	n.d.
Cu	n.d.	n.d.	n.d.
Ga	۳	۴	۳
Hf	n.d.	n.d.	n.d.
La	n.d.	n.d.	n.d.
Mo	۳	۴	۳
Nb	۴	۷	۴
Nd	۲۶	۲۵	۲۴
Ni	۲۴۰,۲	۲۴۰,۱	۲۴۲۵
Pb	۱	۱	۱
Rb	۲	n.d.	۱
Sb	۳	۳	۲
Sn	n.d.	۴	n.d.
Sr	۳	۴	۲
Ta	۵,۰۷	۵,۰۰	۴,۹۸
Th	۱	۱	۲
U	۲	۶	۳
V	۴۹	۶۰	۴۳
W	۱,۰۶	۱,۰۱	۱,۰۰
Y	۵	۵	۴
Zn	۴۸	۴۳	۴۲
Zr	۵	۷	۶

**جدول ۳ نتایج تجزیه‌ی XRF و شیمی مرطوب سنگ‌های آذرین مافیک مجموعه‌ی افیولیتی. تنها نمونه An-3 به روش شیمی مرطوب تجزیه شده است.**

Sample	NSF2	FJ8	FJ1	BGF5	FSD18	*An-3
نام نمونه، اکسید ها	گایبرونوریت	متا دیاباز	متا گایبرو	گایبرو	متا گایبرودیبوریت	گایبرو
SiO <sub>2</sub>	۳۹,۴۹	۵۲,۴۸	۴۷,۷۱	۴۵,۴۷	۴۰,۸۷	۴۶,۷۳
Al <sub>2</sub> O <sub>3</sub>	۱۴,۲۱	۱۱,۹۵	۹,۳۵	۱۷,۷۲	۱۲,۷۸	۱۷,۸۹
Fe <sub>2</sub> O <sub>3</sub>	۰,۹۸	۰,۷۷	۰,۷۳	۰,۵۶	۰,۹۷	۰,۶۹
FeO	۸,۷۹	۶,۸۶	۶,۵۲	۵,۰۴	۸,۶۶	۲,۷۰
TiO <sub>2</sub>	۰,۱۲	۰,۲۶	۰,۲۲	۰,۲۵	۱,۰۵	۰,۲۰
CaO	۲۱,۳۹	۱۱,۵۱	۲۸,۲۵	۱۲,۷۳	۲۲,۲۲	۱۶,۷۷
MgO	۹,۲۸	۱۱,۸۱	۲,۳۰	۱۰,۹۵	۷,۲۳	۸,۸۹
Na <sub>2</sub> O	۰,۶۲	۲,۵۳	۰,۹۱	۲,۰۱	۰,۹۷	۱,۹۵
K <sub>2</sub> O	۰,۰۸	۰,۲۱	۰,۱۰	۰,۹۳	۰,۱۵	۰,۲۳
SO <sub>3</sub>	۱۰۰,۴۱	۰,۰۲	۰,۰۳	۰,۰۲	۰,۰۴	۰,۰۱
P <sub>2</sub> O <sub>5</sub>	۰,۰۱	۰,۰۲	۰,۰۵	۰,۰۲	۰,۱۱	۰,۰۲
MnO	۰,۱۳	۰,۰۸	۰,۰۸	۰,۲۵	۰,۴۹	۰,۰۶
LOI	۵,۳۰	۱,۳۹	۴,۰۸	۳,۹۳	۴,۲۶	۳,۳۹
Total	۱۰۰,۴۱	۹۹,۸۹	۱۰۰,۳۱	۹۹,۸۹	۹۹,۷۷	۹۹,۵۲

**جدول ۴ نتایج تجزیه‌ی XRF برای ۲۸ عنصر نادر و نادر خاکی سنگ‌های آذرین مافیک مجموعه افیولیتی (n.d.= not detected) (PPM)**

Samle	FSD18	BGF5	FJ1	FJ8	NSF2
Element/نام نمونه	متا گایبرودیبوریت	متا گایبرو	متا گایبرو	متا دیاباز	گایبرونوریت
As	<۳	<۳	<۳	<۳	<۳
Ba	۱۳۰	۲۱	۵۰	۲۴	۱۸
Bi	۲	n.d.	۴	۱	۲
Ce	۱۲	۲۵	۳۸	۲۳	۴۱
Co	۲۱	۳۰	۲۰	۴۶	۵۲
Cr	۱۲۵	۵۷۸	۸۵	۶۶۱	۱۵۳
Cs	۴	۱۰	۷	۶	n.d.
Cu	۷	۷۵	۳	n.d.	۱۸
Ga	۱۷	۱۴	۱۰	۱۰	۱۲
Hf	۱	۱	n.d.	۱	n.d.
La	۳	۴	۸	n.d.	۳
Mo	۱	۱	۱	n.d.	۳
Nb	۴	۲	۵	۳	۲
Nd	۲۸	۱۶	۲۳	۲۱	۲۹
Ni	۴۶	۱۴۲	۱۰	۲۰۱	۱۵۴
Pb	۱	۲	۲	۱	۱
Rb	۴	۱۵	۷	۱	۰
Sb	۳	۲	۱	۲	۳
Sn	۹	۲	n.d.	۱	۵
Sr	۳۲۵	۴۲۲	۱۳۹	۲۶۷	۶۱۸
Ta	۹	۲۱	۶	۳۴	۲۲
Th	n.d.	۱	۲	۱	n.d.
U	۳	۱	n.d.	n.d.	n.d.
V	۲۳۱	۱۲۲	۴۸	۲۲۶	۲۹۴
W	۹	۲	۱۶	۱۱	۱۷
Y	۲۶	۹	۲۳	۱۳	۱
Zn	۵۱	۲۵	۲۹	۱۶	۵۱
Zr	۵۷	۱۰	۲۷	۹	۲

جدول ۵ نتایج ریز کاوش الکترونی الیوین در پریدوتیت‌ها.

Sample No.	TDF4	FSD6
Oxides/ Min.	ol-ave	ol-ave
SiO <sub>2</sub>	۴۹,۷۱	۴۱,۵۹
TiO <sub>2</sub>	۰,۰۸	۰,۰۴
Al <sub>2</sub> O <sub>3</sub>	n.d.	۰,۰۱
Cr <sub>2</sub> O <sub>3</sub>	۰,۰۱	۰,۰۲
FeO	۹,۰۴	۹,۰۶
MnO	۰,۰۶	۰,۰۳
MgO	۴۹,۰۲	۵۰,۰۰
CaO	۰,۰۵	۰,۰۴
Na <sub>2</sub> O	۰,۰۹	۰,۰۵
K <sub>2</sub> O	۰,۰۳	۰,۰۲
Total	۱۰۰,۰۰	۱۰۰,۸۵

جدول ۶ نتایج تجزیه‌ی ریز کاوش پیروکسن‌ها در پریدوتیت‌ها و گابرونوریت.

Sample No.	NSF2	NSF2	TDF-4	FSD6	TDF4	FSD6
Oxides/ Min.	opx-ave	cpx-ave	cpx-ave	cpx-ave	opx-ave	opx-ave
SiO <sub>2</sub>	۵۴,۰۵	۵۲,۶۳	۵۲,۴۳	۵۱,۶۹	۵۵,۳۳	۵۵,۰۴
Al <sub>2</sub> O <sub>3</sub>	۱,۲۸	۲,۲۲	۴,۷۱	۴,۶۲	۳,۶۰	۳,۸۸
Cr <sub>2</sub> O <sub>3</sub>	۰,۰۱	۰,۰۳	۱,۰۳	۰,۹۰	۰,۵۷	۰,۷۲
Fe <sub>2</sub> O <sub>3</sub>	۰,۴۰	۲,۶۰	n.d.	۱,۴۷	۰,۶۱	۰,۵۵
FeO	۱۸,۳۶	۵,۷۶	۲۶۱	۱,۲۸	۵,۲۵	۵,۵۳
MnO	۰,۲۸	۰,۱۲	۰,۰۷	n.d.	۰,۱۲	۰,۰۱
MgO	۲۴,۷۴	۱۴,۷۶	۱۷,۶۵	۱۷,۸۲	۳۱,۹۲	۳۱,۹۸
CaO	۱,۵۱	۲۱,۴۱	۲۱,۹۵	۲۲,۴۵	۳,۰۸	۲,۵۶
Total	۱۰۰,۶۶	۱۰۰,۲۵	۱۰۰,۴۰	۱۰۰,۲۴	۱۰۰,۴۳	۹۹,۹۸

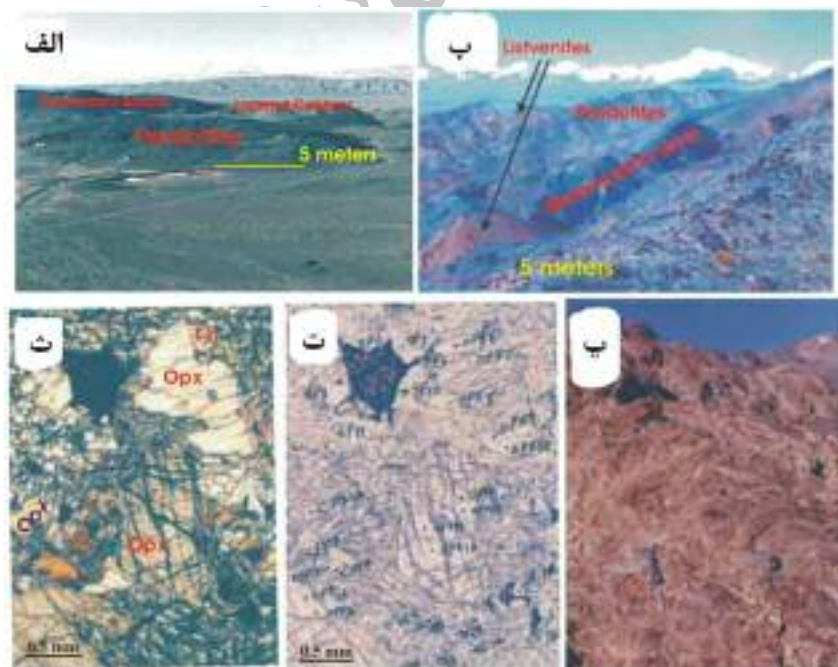
### سنگنگاری سنگ‌های آذرین مورد بررسی

این سنگ‌ها شامل انواع پریدوتیت‌ها و معادل‌های دگرگون شده‌ی آنها، گابروها و متاگابروها، میکروگابروها و متامیکروگابروها، سربانتینیت‌ها و متاسرپانتنیت و دایک‌های دیابازی با ساخت‌صفحه‌ای می‌شوند (شکل ۴-الف، ب و پ). در این بخش سنگ‌نگاری سنگ‌های آذرین مورد بررسی به تفکیک در هر سنگ یا گروه سنگی و بصورت خلاصه مورد بحث قرار گرفته است.

از میان دو نرم افزار مهم برای محاسبات دما-فشارسنجی یعنی TWEEQU [۷] و Thermocalc [۸]، به مرمن [۹] اول انجام نمی‌شد. از نرم افزار دوم انتخاب شد. همچنانی در همهٔ نمونه‌ها از درجه‌بندی‌های مختلفی استفاده شد [۱۰-۱۴] که خلاصهٔ نتایج حاصل در جدول ۷ ارائه شده است.

جدول ۷ نتایج زمین فشار سنگی سنگ‌های آذرین مورد بررسی.

نمونه/کالیبراسیون	هارزبورزیت (TDF4)	لرزولیت (FSD6)	متاکابرنوریت (NSF2)
اورتوپیروکسن - کلینوپیروکسن وود و بانو [۱۰] (۱۹۷۳)	۱۱۷۴±۶۰ درجهی سانتیگراد	۱۱۶۶±۶۰ درجهی سانتیگراد	۹۴۴±۶۰ درجهی سانتیگراد
اورتوپیروکسن - کلینوپیروکسن ولز [۱۱] (۱۹۷۷)	۱۰۸۹±۷۰ درجهی سانتیگراد	۱۰۷۴±۷۰ درجهی سانتیگراد	۹۷۰±۷۰ درجهی سانتیگراد
اورتوپیروکسن - کلینوپیروکسن برتراند و مرسیر [۱۲] (۱۹۸۵)	۱۱۸۶±۱۸ درجهی سانتیگراد در ۲۵ کیلوبار	۱۱۸۶±۱۸ درجهی سانتیگراد در ۲۵ کیلوبار	۱۱۸۶±۱۸ درجهی سانتیگراد در ۲۰ کیلوبار
اورتوپیروکسن - کلینوپیروکسن برتراند و مرسیر [۱۲] (۱۹۸۵)	۱۱۷۷±۱۸ درجهی سانتیگراد در ۳۰ کیلوبار	۱۱۲۲±۱۸ درجهی سانتیگراد در ۳۰ کیلوبار	۱۱۷۵±۱۸ درجهی سانتیگراد در ۲۵ کیلوبار
الیوین - کلینوپیروکسن - اسپینل (هرزبرگ و چاپمن - ۱۹۷۶) [۱۳]	۱۴۲۱ درجهی سانتیگراد در ۱۲ کیلوبار	۱۱۰۷ درجهی سانتیگراد در ۱۲ کیلوبار	
الیوین - کلینوپیروکسن - اسپینل (هرزبرگ و چاپمن - ۱۹۷۶) [۱۳]	۱۴۳۳ درجهی سانتیگراد در ۱۶ کیلوبار	۱۱۳۵ درجهی سانتیگراد در ۱۶ کیلوبار	
کلینوپیروکسن (مرسیر - ۱۹۸۰) [۱۴]	۱۵۸۵ درجهی سانتیگراد در ۱۸.۹۵ کیلوبار	۱۱۸۲ درجهی سانتیگراد در ۱۴.۷ کیلوبار	



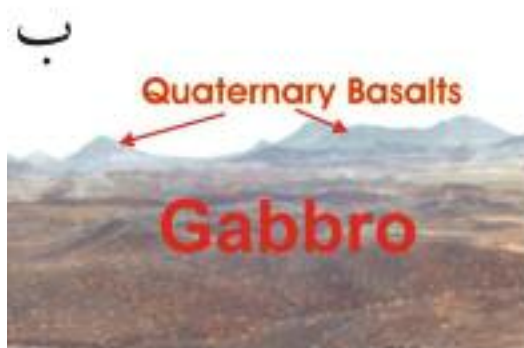
شکل ۴ الف- دنباله‌ی پریدوتیت و گابرو لایه‌ای در حدود ۲ کیلومتری جنوب غرب سولابت (دید به سمت جنوب غربی). ب- لیستونیتی‌شدن پریدوتیتها در حدود ۱۰ کیلومتری شمال تا شمال غربی گریک (دید به سمت غرب). پ- بقایای بیضوی شکل پریدوتیت در زمینه‌ی لیستونیت در ۲ کیلومتری شمال شرقی گریک (دید به سمت جنوب غرب). ت- تصویر میکروسکوپی اسپینل هارزبورزیت (TDF4) و نقاط آنالیز شده‌ی کانی‌های آن (NPL). ث- الیوین، اورتوپیروکسن و دیوپسید در همان نمونه با یک بافت پورفیروکلاستیکی (XPL). Ol = Olivine, Opx = Orthopyroxene, Sp = Spinel

Cpx = Clinopyroxene, Sp = Spinel

کدر که به مرحله‌ی تبلور ماقمایی وابسته‌اند مشاهده می‌شوند. کانی‌های ثانویه‌ی کلریت و اکسیدهای آهن نیز دیده شدند. این سنگ‌ها دارای بافت دانه‌ای است و با توجه به اینکه بیش از ۹۵ درصد ترکیب مدنی سنگ متتشکل از کلینوپیروکسن است، نام کلینوپیروکسنیت را نیز می‌توان به آنها اطلاق کرد. در مقاطع نازک تعداد دیگری از این سنگ‌ها، کانی‌های اورتوپیروکسن، مقدار ناچیزی کلینوپیروکسن (دیوپسید و اوژیت دیوپسیدی)، کربنات، سرپانتین و تالک مشاهده می‌شوند که می‌توان آنها را بر اساس ترکیب مدنی (بیش از ۸۵ درصد انسنتاتیت)، اورتوپیروکسنیت تا وبرتریت نامید. بافت این سنگ‌ها نیز شبکه‌ای تا دانه‌ای و گاهی پورفیروکلاستیکی است.

#### گابروها، متاباگابروها و متاباگابرونوریت‌ها

این سنگ‌ها رخنمون‌های نسبتاً بزرگی به ضخامت ۱۰۰ تا ۵۰۰ متر را در منطقه‌ی تشکیل می‌دهند (شکل ۵ ب). ضخیم‌ترین واحد گابرویی منطقه در ۳ کیلومتری غرب دستگرد و ۲ کیلومتری غرب سولابست (شکل ۵ ب) و نیز ۳ کیلومتری شمال گزیک (شکل ۵ الف) روی سنگ‌های اولترامافیکی قرار گرفته‌اند. در مقاطع نازک میکروسکوپی گابروها (به عنوان مثال NSF2)، کانی‌های کلینوپیروکسن، اورتوپیروکسن، پلازیوکلаз در حد لابرادریت و کانی‌های کدر که به صورت اولیه هستند، وجود دارند. کانی‌های حاصل دگرگونی در متاباگابروها (به عنوان مثال BGF-5)، کلریت، کربنات، آلبیت، اپیدوت و زوئیزیت، اکتینولیت - ترمولیت، پرهنیت و سریسیت هستند. بافت این سنگ‌ها ساب - افیتیک تا دانه‌ای است (شکل ۶ ب) که بلورهای پلازیوکلاز به صورت بخشی با بلورهای پیروکسن احاطه شده‌اند.



شکل ۵ الف- دنباله‌ی گابرو (نzdیک) و پریدوتیت‌ها (دور) در حدود ۳ کیلومتری غرب دستگرد (دید به سمت جنوب غربی). ب- وسعت قابل توجه گابروها و متاباگابروها در ۳ کیلومتری غرب دستگرد (دید به سمت جنوب غربی).

#### پریدوتیت‌ها و متاباپریدوتیت‌ها

این سنگ‌ها از هارزبورزیت‌ها، متاهازارزبورزیت‌ها و لرزولیت‌ها و متالرزولیت‌ها تشکیل شده‌اند. در مقاطع میکروسکوپی هارزبورزیت‌ها (TDF4,SF-2) کانی‌های الیوین، اورتوپیروکسن، کلینوپیروکسن، کروم - اسپینل (شکل ۴ ت) و گاه سرپانتین که حاصل دگرسانی الیوین و پیروکسن‌ها هستند، دیده می‌شوند. در بعضی از مقاطع نازک این سنگ‌ها تیغه‌های نازک دیوپسید در انسنتاتیت به صورت درهم رشد به چشم می‌خورند. بافت میکروسکوپی این سنگ‌ها شبکه‌ای و دانه دانه‌ای است.

در مقاطع میکروسکوپی لرزولیت‌ها (FSD6,FGa-2) نیز کانی‌های الیوین، اورتوپیروکسن، کلینوپیروکسن دیوپسیدی، سرپانتین، کروم - اسپینل و کانی‌های کدر (کرومیت) مشاهده می‌شوند. بافت میکروسکوپی این سنگ‌ها شبکه‌ای و موزائیکی است.

ساخترهای و پدیده‌هایی مانند ریزدانه‌شدن بلورها که در شکل ۴ ث دیده می‌شود، خمیدگی در رخ‌های کانی‌ها و تبلور مجدد، از علائم دگرشکلی‌های پلاستیک رخ داده در دماهای بالاست [۱۵-۱۷].

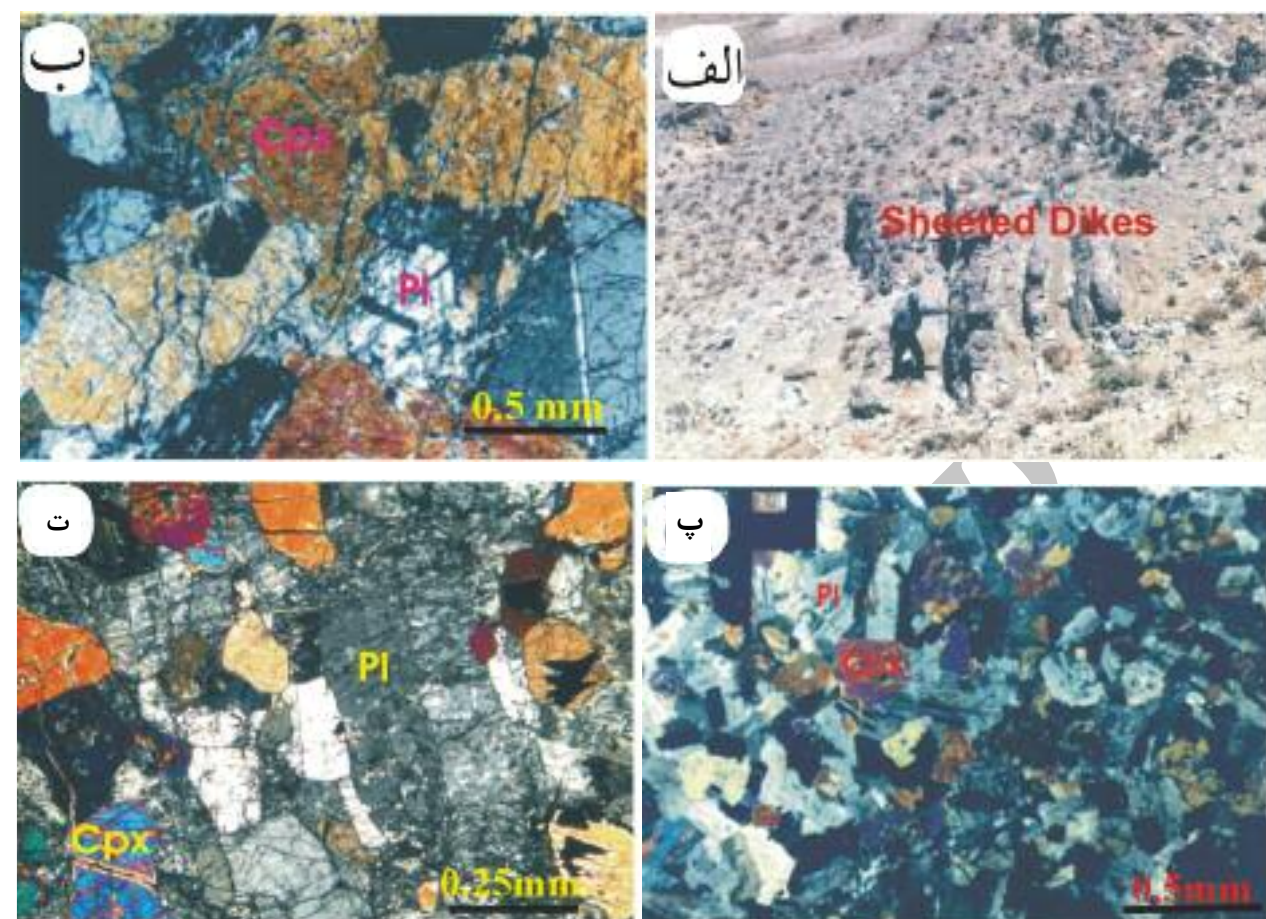
#### پیروکسنیت‌ها

این سنگ‌ها در نمونه‌ی دستی به رنگ سبز تیره تا سیاه بوده و بصورت توده‌های عدسی شکل پراکنده‌ای به وسعت ۵ تا ۱۰۰ متر مربع بین سنگ‌های پریدوتیتی و نیز در منطقه‌ی دگرگونی دیده می‌شوند.

در مقاطع میکروسکوپی تهیه شده از تعدادی از پیروکسنیت‌ها (به عنوان مثال ۲-۲)، کانی‌های کلینوپیروکسن و کانی‌های



شکل ۵ الف- دنباله‌ی گابرو (نzdیک) و پریدوتیت‌ها (دور) در حدود ۳ کیلومتری غرب دستگرد (دید به سمت جنوب غربی).



شکل ۶ الف- دایک‌های صفحه‌ای دیابازی دگرگون شده به مجموعه‌ی کانیایی کلریت، پرهنیت و اکتینولیت در ۶ کیلومتری غرب سولابست (دید به سمت شرق). ب- بافت ساب افیتیک تا دانه‌ای در گابرو همسانگرد (XPL). ب- پلازیوکلاز و کلینوپیروکسن (دیوپسید تا اوژیت دیوپسیدی) در نمونه‌ی میکروگابرو (XPL). ب- جهت‌یابی ترجیحی در اوژیت دیوپسیدی و پلازیوکلاز در گابرو انشاشی (XPL). ت- پلازیوکلاز و اکتینولیت در نمونه‌ی متاگابرو - آنورتوزیت (XPL).

می‌تواند حاصل دگرسانی این سنگ‌ها باشد (شکل ۶ پ). بافت این سنگ‌ها ساب افیتیک و دانه‌ای است. نام متامیکروگابرو در این پژوهش برای نمونه‌های با دگرگونی قابل توجه که بافت اولیه‌ی آذرین آنها حفظ شده است، بکار رفته است (شکل ۶ پ).

**ژئوشیمی سنگ‌های آذرین اولترامافیک** مورد بررسی روی ۵ نمونه از سنگ‌های اولترامافیک مجموعه‌ی افیولیتی، تجزیه شیمیایی سنگ کل به روش XRF و شیمی مرطوب انجام شده است که نتایج آن در جدول‌های ۱ و ۲ ارائه شده‌اند.

چنانکه در شکل ۷ مشاهده می‌شود، ترکیب شیمیایی سنگ‌های هارزبورزیت، متاهارزبورزیت و متالرزولیت وابسته به سری افیولیتی منطقه، در گستره‌ی انشاشی‌های اولترامافیک ترسیم شده‌اند.

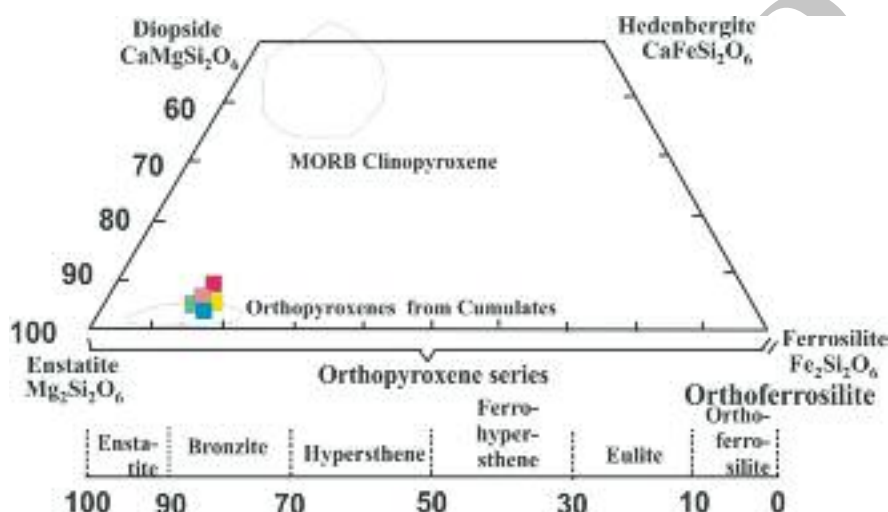
#### میکروگابرو، متامیکروگابرو، دیاباز و متادیاباز

این سنگ‌ها در بالای گابروها و متاگابروها و به صورت بین لایه‌ای با سنگ‌های حدواتر از قبیل دیوریت، متادیوریت، میکرودیوریت، آنورتوزیت و متآنورتوزیت و نیز دایک‌هایی با رخمنونهای پراکنده (شکل ۶ الف) با وسعت تقریبی ۵ تا ۱۰۰ متر مربع وجود دارند.

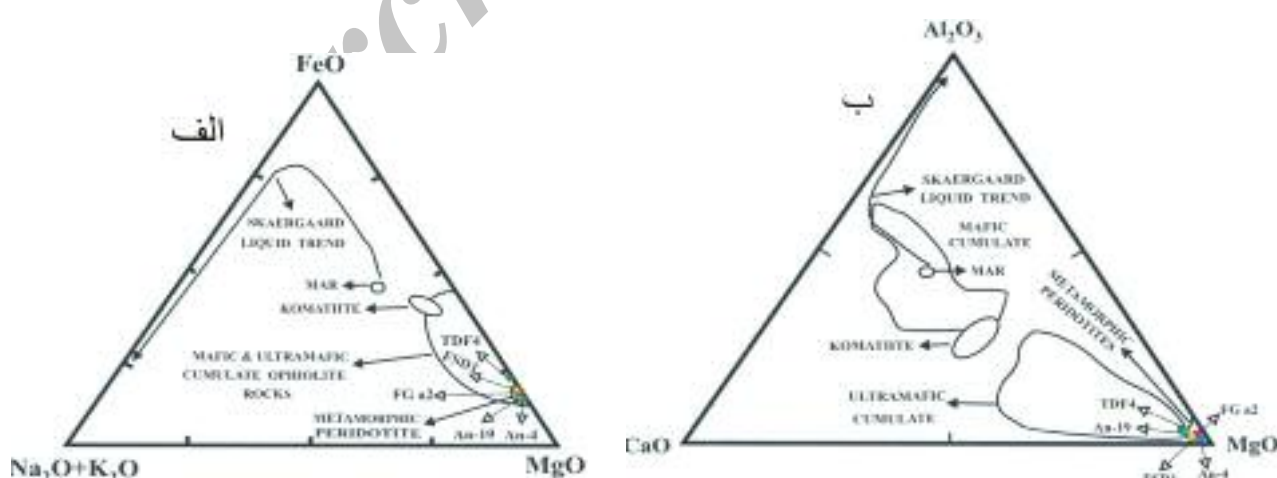
در مقاطع میکروسکوپی تهیه شده که از این سنگ‌ها (به عنوان مثال RF-10)، کانی‌های کلینوپیروکسن و پلازیوکلاز در حد لابرادوریت در نمونه‌های کاملاً سالم این سنگ‌ها دیده می‌شوند (شکل ۶ ب و ت). کانی‌های کلریت، زوئیزیت، اپیدوت و کربنات و در بعضی از آنها اکتینولیت و پرهنیت احتمالاً حاصل دگرگونی گرمابی این سنگ‌ها به رخساره‌ی شیست سبز و زیر رخساره‌ی پرهنیت - اکتینولیت هستند و کانی سریسیت نیز

پریدوتیت‌های انباشتی دارند. نمودارهای عنکبوتی پریدوتیت‌ها در شکل ۹، تشابه نسبی پریدوتیت‌ها را با گوشه‌ی اولیه و MORB نشان می‌دهد. تشابه نسبت به گوشه‌ی اولیه خاستگاه گوشه‌های این سنگ‌ها را اثبات می‌کند. همچنین نمودارهای عنکبوتی عادی‌سازی شده با کندریت تشابه کاملی با الگوهای اسپینل لرزولیت‌ها [۲۳] را نشان می‌دهد.

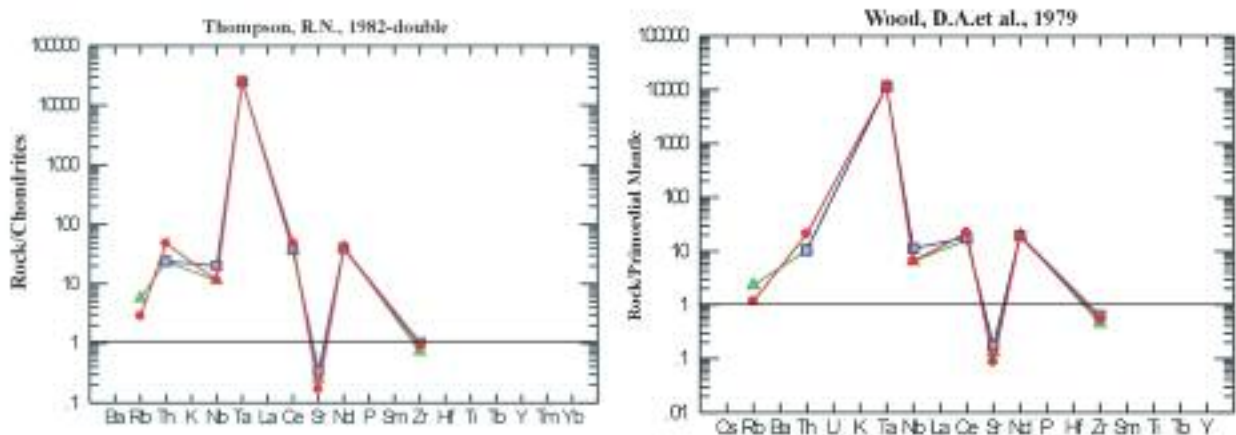
در نمودار AFM (شکل ۸ الف) تنها نمونه‌ی TDF4 در میدان سنگ‌های انباشتی اولترامافیک وابسته به مجموعه‌های افیولیتی ترسیم شده است. نمونه‌ی An-19  $\text{CaO}$ ,  $\text{Al}_2\text{O}_3$  می‌زان  $\text{An}-19$  کمتری از  $\text{An}-4$  دارد که بنابر نظر کلمن [۲۲] نیز باید در گروه پریدوتیت‌های متامورفیک قرار گیرد زیرا به نظر نامبرده پریدوتیت‌های متامورفیک می‌زان  $\text{CaO}$ ,  $\text{Al}_2\text{O}_3$  و قلیایی کمتری نسبت به



شکل ۷ ترکیب پیروکسن‌های مورب نمونه‌های هارزبوزیت و لرزولیت که به داخل چهاروجهی پیروکسن تصویر شده است [۱۷].



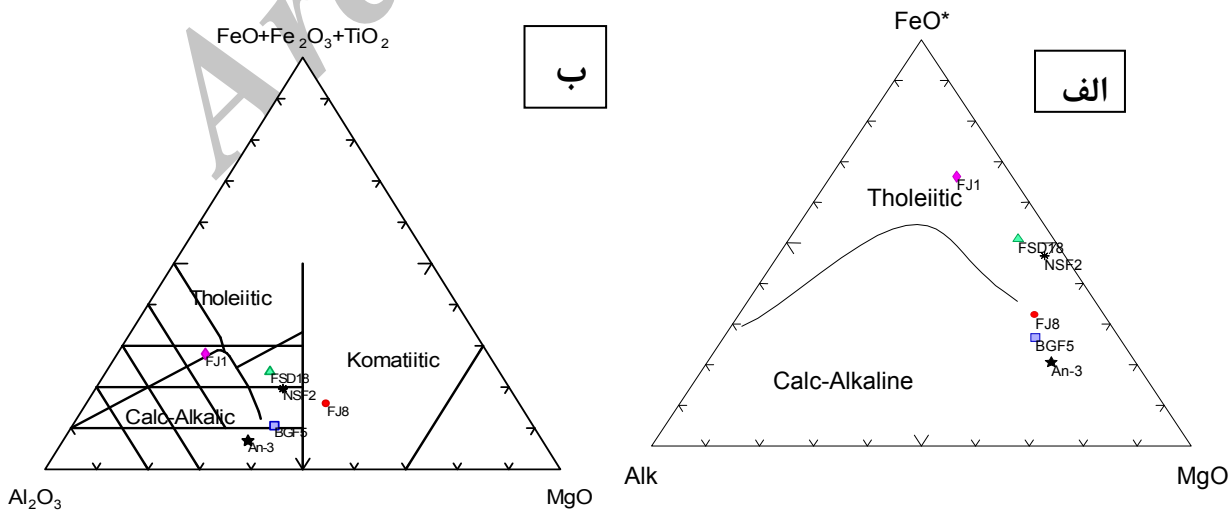
شکل ۸ الف - نمودار مثالی AFM که ترکیب شیمیایی پریدوتیت‌ها در آن رسم شده است. میدان کماتیت از منابع گوناگون بدست آمده است و MAR ترکیب متوسط بازلتهای رشتهدی میان اقیانوسی است [۱۹]. ب- نمودار مثالی  $\text{Al}_2\text{O}_3\text{-CaO-MgO}$  که ترکیب شیمیایی پریدوتیت‌ها در آن در میدان پریدوتیت‌های دگرگونی و سنگ‌های اولترامافیک انباشتی واقع شده است [۱۹].



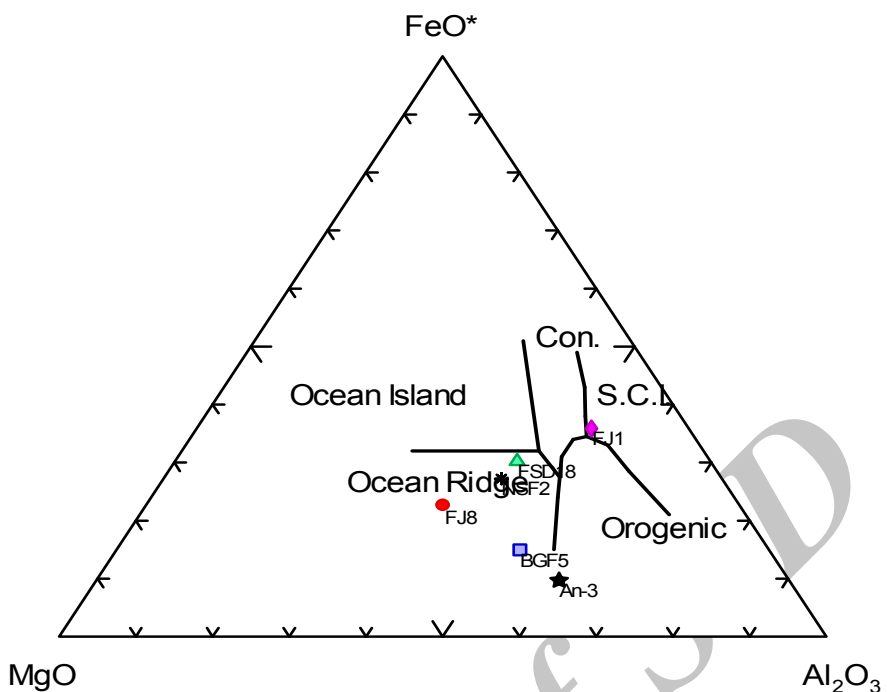
شکل ۹ نمودارهای عنکبوتی پریدوتیت‌های افیولیت منطقه‌ی مورد بررسی.

میدان انباشتی‌های مافیک افیولیت‌ها در شکل ۱۲ الف تصویر شده است. بنابر شکل ۱۲ ب که ترکیب اغلب نمونه‌ها در مجاورت و یا روی خط میدان انباشتی‌های مافیک و اولترامافیک وابسته به افیولیت‌ها تصور شده‌اند و تنها نمونه FJ1 به دلیل میزان بالای آهن و میزان بسیار کم منیزیم در ترکیب شیمیایی آن که دگرگونی اندکی تغییر شیمیایی در آن ایجاد کرد، در فاصله زیادی از میدان یاد شده تصویر شد.

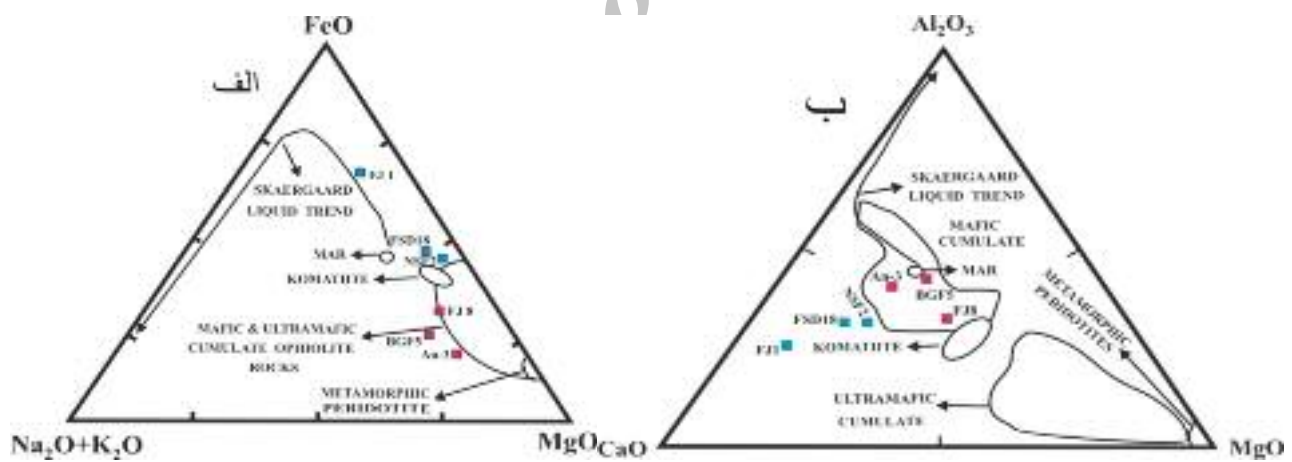
ژئوشیمی سنگ‌های آذرین مافیک مجموعه‌ی افیولیتی تعداد ۵ نمونه از سنگ‌های آذرین مافیک برای تعیین عناصر اصلی به روش XRF و ۱ نمونه نیز به روش شیمی مرطوب تجزیه شد که نتایج آن در جدول‌های ۳ و ۴ ارائه شده‌اند. سری ماقمایی این سنگ‌های نیز با توجه به نمودارهای شکل ۱۰ تولیتی است. در شکل ۱۱ ترکیب شیمیایی این سنگ‌ها در میدان بازالت‌های پشتنه‌های میان اقیانوسی تصویر شده است. ترکیب شیمیایی سنگ‌های آذرین مافیک در



شکل ۱۰ الف - نمودار AFM جهت تعیین سری ماقمایی سنگ‌های آذرین مافیک. ب- نمودار آلکالن - ساب آلکالن جهت تعیین سری ماقمایی سنگ‌های آذرین مافیک مجموعه‌ی افیولیتی.



شکل ۱۱ نمودار تمایز محیط زمین ساختی بازالت‌ها که ترکیب شیمیایی سنگ‌های آذرین مافیک افیولیت در آن تصویر شده است [۲۱].



شکل ۱۲ (الف) - نمودار مثلثی AFM که ترکیب شیمیایی سنگ‌های آذرین مافیک در آن ترسیم شده است. میدان کماتئیت از منابع گوناگون به دست آمده است و MAR ترکیب متوسط بازالت‌های پشت‌های میان اقیانوسی است [۱۹].  
ب - نمودار مثلثی  $\text{Al}_2\text{O}_3\text{-CaO-MgO}$  که ترکیب شیمیایی سنگ‌های آذرین مافیک در آن در میدان سنگ‌های مافیک انباشتی افیولیت‌ها واقع شده است [۱۹].

فقیرند. چنین طیف‌هایی از عناصر نادر، در بازالت‌های توئیتی که اقیانوسی نوع غنی شده (P-Eor MORB) مشاهده می‌شود [۲۰]. در نمودارهایی که نسبت به MORB عادی‌سازی شده‌اند، همسانی با

نمودارهای عنکبوتی شکل ۱۳ (الف و ب) نشان می‌دهند که سنگ‌های آذرین مافیک یعنی انواع گابروها همانند بازالت‌های پشت‌های میان اقیانوسی از عناصر کمیاب سبک غنی و از عناصر کمیاب سنگین

## برداشت

- سری ماقمایی سنگ‌های آذرین مورد بررسی بر اساس نمودارهای ژئوشیمیایی تولیتی است. نمودارهای ژئوشیمیایی نشان می‌دهد که تعدادی از پریدوتیتها به سری انباشتی ماقمای مورب زون گسترش کف اقیانوس وابسته اند و تعدادی از پریدوتیتها نیز از انواع متامورفیک (تکتونیت‌ها) هستند.
- بر اساس نمودارهای شیمی کانی‌ها، گابروها و تعدادی از پریدوتیتها به سری انباشتی ماقمای مورب زون گسترش کف اقیانوس و در نتیجه به مجموعه‌ی افیولیتی منطقه مورد بررسی وابسته‌اند.
- مشابهت الگوهای عناصر کمیاب در نمودارهای عنکبوتی وابستگی سنگ‌های آذرین مورد بررسی را به ماقمای بازالتی غنی از منیزیم غنی شده نوع مورب تایید می‌کند.
- نتایج ترمومارومتری نیز مانند سایر نتایج فوق الذکر تبلور اغلب سنگ‌های آذرین مورد مطالعه را از ماقمای بازالتی غنی از منیزیم نوع مورب تایید می‌نماید.
- نتایج زمین- دماسنجدی، دماهایی بین ۹۴۴ تا ۱۱۷۵ درجه‌ی سانتیگراد در گابروها ۱۰۷۴ تا ۱۵۸۵ درجه‌ی سانتیگراد را در پریدوتیتها بدست داده است.
- تبلور این سنگ‌ها بر اساس محاسبات نرم افزار ترموکالک در دماهایی بین ۷۴۸ درجه‌ی سانتیگراد در گابروها، تا ۱۲۸۲ درجه‌ی سانتیگراد در پریدوتیتها و فشارهایی بین ۱۷/۴۶ در گابروهاتا ۲۴/۷ و ۳۳/۶ کیلوبار در پریدوتیتها را به دست داده است.
- دماهای بدست آمده بخصوص دماهای ترموکالک، تبلور سنگ‌های مافیک و اولترامافیک مورب بررسی را از ماقمای غنی از منیزیم نوع مورب در یک مرکز گسترش کف اقیانوسی تأیید می‌کند.

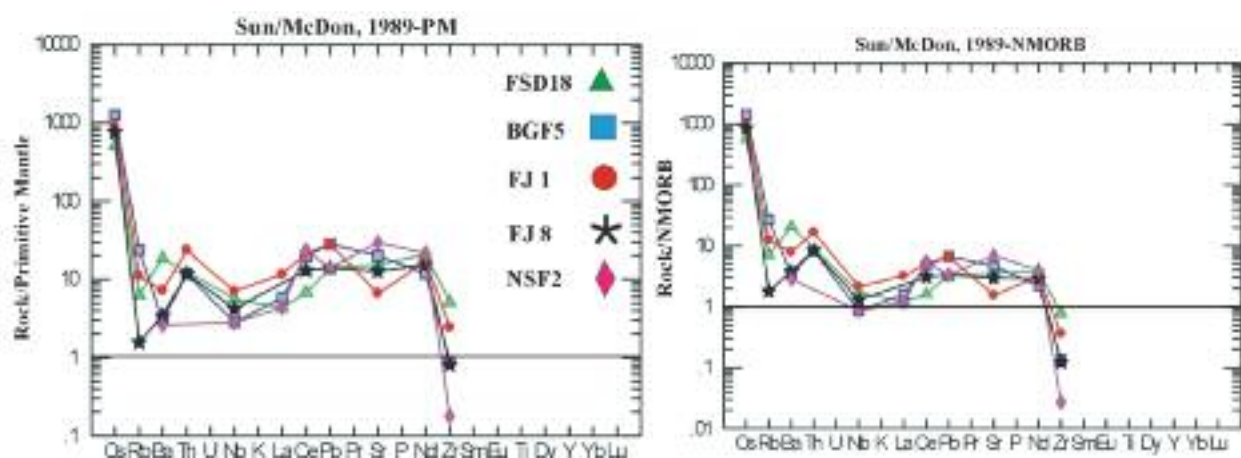
MORB در تراکم عناصر مشاهده می‌شود. بنابراین بر اساس الگوهای عناصر نادر نیز، گابروها و متاگابروهای مجموعه‌ی افیولیتی به سری تولیتی افیولیت منطقه وابسته‌اند.

## شیمی کانی‌ها و زمین- دماسنجدی

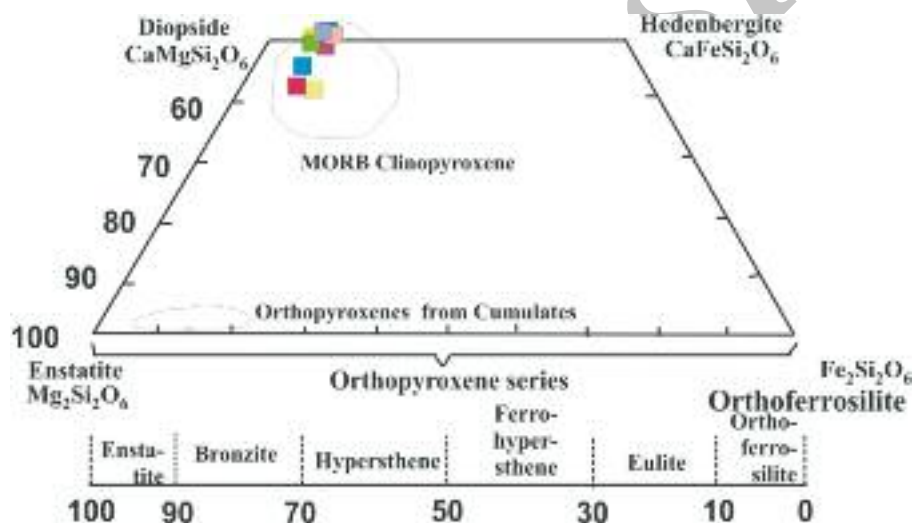
بر اساس آنچه در بخش روش این پژوهش یاد آوری شد، علاوه بر بررسی‌های زمین- دماسنجدی از شیمی کانی‌ها در تفسیرهای سنگ- شناسی نیز استفاده شد که نتایج آن در این بخش ارائه شده است. با توجه به نمودارهای شکل‌های ۷ و ۱۴ ترکیب اورتوپیروکسن‌ها و کلینو پیروکسن‌های نمونه‌های هارزبورژیت و لرزولیت در میدان اورتوپیروکسن‌ها و کلینوپیروکسن‌های وابسته به انباشتی‌های مورب [۱۶] قرار می‌گیرند، لذا این پریدوتیتها به سری انباشتی مورب وابسته اند.

بر اساس نمودار شکل ۱۵ کلینو پیروکسن‌ها در نمونه‌ی متا گابرونوریت در میدان مورب قرار گرفته است، بنابراین کانی‌ها و در نتیجه سنگ‌های دربردارنده‌ی، وابسته به سری کلینوپیروکسن‌ها و سنگ‌های مافیک انباشتی نوع مورباند.

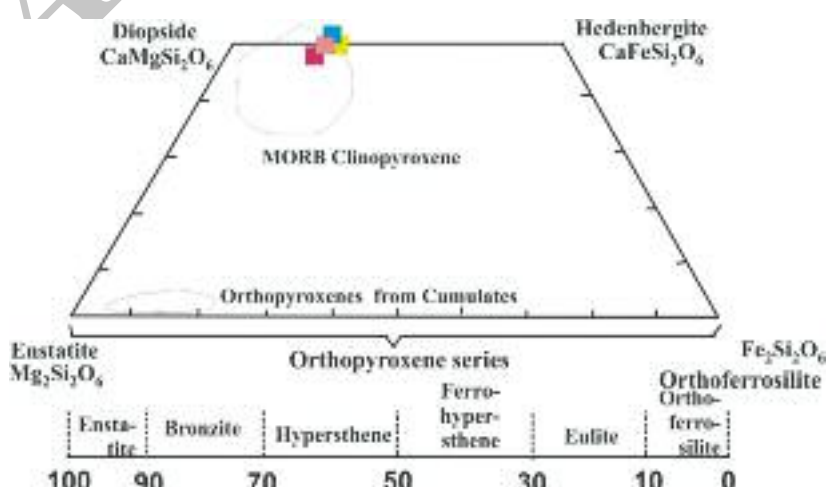
بر اساس ترکیب شیمیایی کانی‌های یاد شده، بررسی‌های زمین- دماسنجدی نیز روی این سنگ‌ها انجام شده است که خلاصه‌ی نتایج آن در جدول ۷ آمده است. بطوری که در جدول ۷ مشاهده می‌شود نتایج زمین دماسنجدی دماهایی بین ۹۴۴ تا ۱۱۷۵ درجه‌ی سانتیگراد در گابروها، و برای پریدوتیها دماهایی بین ۱۰۷۴ تا ۱۵۸۵ درجه‌ی سانتیگراد بدست آمد. برای تبلور این سنگ‌ها بر اساس محاسبات نرم افزار ترموکالک [۸] دماهایی بین ۷۴۸ درجه‌ی سانتیگراد در سانتیگراد در گابروهاتا ۱۲۸۲ درجه‌ی سانتیگراد در پریدوتیها، و فشارهایی بین ۱۷/۴۶ در گابرو تا ۲۴/۷ و ۳۳/۶ کیلوبار در پریدوتیها به دست آمد. اغلب این دماهای به دست آمده بخصوص دماهای ترموکالک تبلور این سنگ‌ها از ماقمای غنی از منیزیم نوع مورب در یک مرکز گسترش کف اقیانوسی را تأیید می‌کند.



شکل ۱۳ نمودارهای عنکبوتی سنگ‌های آذرین مافیک وابسته به مجموعه‌ی افیولیتی منطقه‌ی مورد بررسی.



شکل ۱۴ ترکیب کلینوپیروکسن‌های مورب نمونه‌های هارزبورزیت و لرزولیت که به داخل چهاروجهی پیروکسن تصویر شده است [۱۶].



شکل ۱۵ نمودار چهاروجهی کلینو پیروکسن‌ها که نشاندهنده‌ی وجود دیوپسید و اوژیت دیوپسیدی نوع مورب در نمونه‌ی متاگابرونوریت است [۱۷].

*simple and complex systems*“. Contributions to Mineralogy and Petrology, 42: (1973), 109-124.

[11] Wells P.R.A., “*Pyroxene thermometry in simple and complex systems*”, Contributions to Mineralogy and Petrology, 62: (1977), 129-139.

[12] Bertrand P., Mercier J.C.C., “*The mutual solubility of coexisting ortho-and clinopyroxene: Toward an absolute geothermometer for the natural systems?*“, Earth and Planetary Science Letters, 76: (1985), 109-122.

[13] Herzberg C.T., Chapman N.A., “*Clinopyroxene geothermometry of spinel-lherzolite*“, American Mineralogist, 61 (1976) 626-637.

[14] Mercier J.C.C., “*Single -pyroxene thermometry*“, Tectonophysics, 70 (1980) 1-37.

[15] Barker A.J. “*Introduction to metamorphic textures and microstructures*. Chapman and Hall”, (1994) 265 P.

[16] Passchier C.W., Trouw R.A.J., Microtectonics, Springer, (1996) 289 P.

[17] Shelly D., “*Igneous and metamorphic rocks under the microscope*”, Chapman and Hall. (1993).

[۱۸] فتوحی راد غ. ”مطالعه پetroلوری، پتروگرافی و ژئوشیمی افیولیت ملانژ منطقه شمال غرب درح (جنوب شرق بیرجند) با نگرشی بر پتانسیل اقتصادی منطقه“، پایان‌نامه کارشناسی ارشد پetroلوری، دانشگاه تربیت معلم تهران، (۱۳۷۵)، ۲۳۵ صفحه.

[19] Dana J.D., “*Manual of Mineralogy*“, 20<sup>th</sup> edition. John Wiley & Sons (1985) 596P.

[20] Wilson M., “*Igneous petrogenesis*”, Fifth Published. Department of Earth Sciences. University of Leeds. UK. Unwin Hyman, (1996) 466P.

[21] Jensen L.S., “*A new cation plot for classifying subalkaline volcanic rocks*“, Ontario division of mines, Mp 66, (1976), 22p.

[22] Coleman R.G., “*Ophiolites ancient Oceanic Lithosphere?*“, Newyork; Springer- Verlag, P. J. Wyllie,Chicago, III. (1977) , 230p.

## مراجع

[1] Maorizot P., Guillou Y., Vaslet D., Dellaville H., “*Geology of Gazik Quadrangle, 1:250000 Scale: Report Submitted to the Geological and Mineralogical Survey of Iran*”, (1980) ,172p.

[2] Tirrul R., Bell I.R., Griffis R.J., Camp V.E., “*The Sistan Suture Zone of eastern Iran. Geological Society of America Bulletin*”, V.94, (1983) P.134-150,12 figs,January 1983.

[۳] فتوحی راد غ. ”پetroلوری و ژئوشیمی افیولیت‌های دگرگون شده شرق بیرجند“، رساله دکتری پetroلوری، دانشگاه تربیت معلم تهران، (۱۳۸۳)، ۳۲۱ صفحه.

[4] Bröcker M., Fotoohi Rad Gh. R., Theunissen S., “*New time (Rb-Sr) constraints for HP metamorphism and exhumation of mélange rocks from the Sistan Suture Zone, eastern Iran*”. A summary paper accepted for a International Symposium in Turkey: Tectonic Crossroads: Evolving Orogens of Eurasia – Africa – Arabia. (2011).

[5] Busby C.J., Ingersoll R.V., “*Tectonics of Sedimentary Basins*”, Blackwell Science, Inc. (1995) , 579P.

[6] Droop G.T.R., “*A general equation for estimating Fe<sup>3+</sup> concentrations in ferromagnesian Silicates and Oxides from microprobe analyses, using stoichiometric criteria*”, Mineralogical Magazine. 51, (1987), 431-435.

[7] Berman R.G., “*Thermobarometry using multi-equilibrium calculations: a new technique, with petrological applications*”, Canadian Mineralogist, 29, (1991) , 833-855.

[8] Holland T.J.B., Powell R., “*An internally consistent thermodynamic data set for phases of petrological interest*”, Journal of Metamorphic Geology. 16, (1998) , 309-343.

[9] Powell R., Holland T. J.B., “*Optimal geothermometry and geobarometry*“, American Moneralogist, Vol. 79, (1994) , p. 120-133.

[10] Wood B.J., Banno S., “*Garnet-orthopyroxene and orthopyroxene-clinopyroxene relationships in*

[24] Pearce T.H., Gorman B.E., Birkett T.C., “*The relationship between major element chemistry and tectonic environment of basic and intermediate volcanic rocks*”, Earth and Planetary Science Letters. Vol. 36. (1977), p. 121-132.

[23] Le Bas M.j., Le Maitre R.W., Streickeisen A., Zanettin B., “*A chemical classification of volcanic rocks based on the total alkali-silica diagram*”, Journal of Petrology. 27, (1986), 745-750.

Archive of SID